

УДК 621.396.967

<sup>1</sup> К.П. ГАЙКОВИЧ, <sup>2</sup> Е.С. МАКСИМОВИЧ, <sup>2</sup> В.А. БАДЕЕВ

<sup>1</sup> Институт физики микроструктур Российской академии наук, Нижний Новгород

E-mail: gai@ipm.sci-nnov.ru

<sup>2</sup> Институт прикладной физики Национальной академии наук Беларуси, г. Минск, Беларусь

E-mail: makhel@iaph.bas-net.by

## **Микроволновая сканирующая томография слабоконтрастных подповерхностных объектов**

XXI Симпозиум по радиолокационному зондированию природных сред

*Предложен и экспериментально исследован метод сканирующей микроволновой томографии неоднородностей комплексной диэлектрической проницаемости в грунте, основанный на решении соответствующей обратной задачи рассеяния по данным многочастотных измерений двумерного распределения рассеянного поля у земной поверхности над областью неоднородностей.*

Рассматриваемый подход реализует идею сканирующей электромагнитной томографии [1] в рамках подхода к решению соответствующей обратной задачи рассеяния [2]. Этот подход основан на разложении функций Грина, определяющих ядро интегрального уравнения для рассеянного поля, в спектр по поперечным координатам и способе сканирования жестко связанной системой источник-приемник. При этом структура зондирующего поля относительно приемника остается неизменной, все вариации сигнала связаны только с полем, рассеянным на неоднородности, а исходное трехмерное интегральное уравнение может быть сведено к решению одномерного уравнения для глубинного профиля поперечного спектра неоднородностей. Соответствующая обратная задача, как и многие задачи дистанционного зондирования [3], сводится к решению интегрального уравнения Фредгольма 1-го рода. Многочастотные измерения рассеяния когерентного сигнала в широкой полосе частот обеспечивают глубинную чувствительность. Первые результаты экспериментального исследования данного метода томографии были представлены в [4,5]. В данной статье показано, что трансформация частотной зависимости этого уравнения во временную область позволяет существенно уменьшить влияние зашумленности данных и качественно улучшить глубинную чувствительность метода. Приведены результаты экспериментов.

**ТЕОРИЯ** Пусть имеется рассеивающая трехмерная неоднородность комплексной диэлектрической проницаемости  $\varepsilon_1$  в среде с  $\varepsilon_0$  (среда может быть многослойной), т.е.  $\varepsilon(\mathbf{r}) = \varepsilon_0 + \varepsilon_1(\mathbf{r})$ . Электромагнитное поле может быть представлено как сумма зондирующего и рассеянного полей  $\mathbf{E}(x, y, \omega) = \mathbf{E}_0(x, y, \omega) + \mathbf{E}_1(x, y, \omega)$ . Для предлагаемой схемы измерений (см. на рис. 1) с фиксированным вектором  $\delta\mathbf{r}$ , определяющим сдвиг между приемной и передающей антеннами, поперечный спектр рассеянного поля (двумерное фурье-преобразование по  $x$  и  $y$ ) в борновском приближении может быть представлен как интеграл от глубинного профиля поперечного спектра неоднородностей в виде [2]:

$$E_{1i}(k_x, k_y, z, \delta\mathbf{r}) = -4\pi^3 i\omega \int_{z'}^{\infty} \varepsilon_1(k_x, k_y, z') \left[ \int_{-\infty}^{\infty} \int_{-\infty}^{\infty} e^{-ik_x \delta x - ik_y \delta y} \right. \\ \left. \times \int_{z''} [j_i(\kappa_x, \kappa_y, z'' - z - \delta z) G_{ij}^{12}(\kappa_x, \kappa_y, z'', z')] G_{ji}^{21}(\kappa_x + k_x, \kappa_y + k_y, z', z) d\kappa_x d\kappa_y dz'' dz', \right] \quad (1)$$

где  $G_{ji}^{lk}$  - компоненты соответствующих функций Грина в  $k$ -пространстве,  $j_i$  - спектр распределения излучающего тока источника.

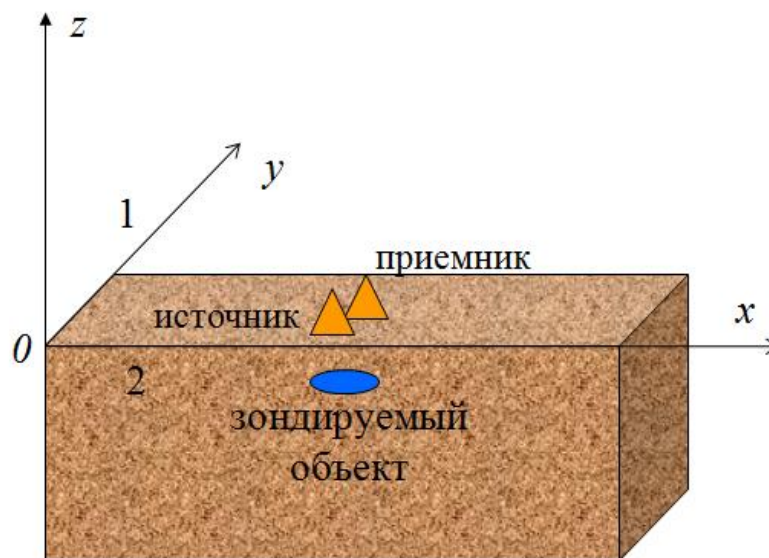


Рисунок 1 — Схема сканирующей томографии

Программа: Microsoft Power Point

В случае измерений над средой с плоскостистой основной структурой вариации принимаемого сигнала  $s$ , связанные с рассеянным на подповерхностной неоднородности полем, определяются сверткой по поперечным координатам передаточной функции приемника  $\mathbf{F}$  и рассеянного поля  $\mathbf{E}_1(x, y, \omega)$ .

$$\Delta s(\mathbf{r}_r) = \int_S \mathbf{E}_1(\mathbf{r}') \mathbf{F}(x_r - x', y_r - y', z_r, z') dx' dy' dz', \quad (2)$$

где  $S$  – апертура приемной антенны, положение которой определяется вектором  $\mathbf{r}_r$ . Это позволяет получить одномерное интегральное уравнение, связывающее поперечный спектр вариаций сигнала с глубинным профилем поперечного спектра неоднородностей диэлектрической проницаемости:

$$\Delta s(k_x, k_y, \omega) = \int_{z'} \varepsilon_1(k_x, k_y, z') K(k_x, k_y, z', \omega) dz'. \quad (3)$$

Интегральное уравнение Фредгольма 1-го рода (3) должно решаться для каждой пары спектральных компонент. Для функций в комплексном гильбертовом пространстве  $W_2^1$  в [3] разработан регуляризирующий алгоритм решения, основанный на принципе обобщенной невязки. Искомое трехмерное распределение (результат томографии) получается путем обратного фурье-преобразования полученного спектра. Исходными данными для анализа является двумерное распределение вариаций сигнала у поверхности среды над неоднородностью, измеренное на ряде частот. Зависимость масштаба затухания сигнала в среде от частоты определяет глубинную чувствительность метода. Этот масштаб определяется как ближнепольными компонентами поперечного спектра рассеянного поля, так и поглощением в среде.

Решение уравнения (3) было использовано в первых исследованиях метода томографии по экспериментальным данным [4,5]. Проблемой метода являлся высокий уровень зашумленности данных. Вместе с тем, экспериментально было установлено, что шум эффективно подавляется при трансформации многочастотных данных во временную область:

$$\Delta s_{re}(x, y, t) = \text{Re} \int_0^\infty \Delta s(x, y, \omega) \exp(i\omega t) d\omega. \quad (4)$$

Такой синтезированный импульс характеризует относительный вклад рассеяния с разных уровней глубины в соответствии со временем задержки:

$$\Delta s_{re}(x, y, z) = \Delta s_{re}(x, y, t = -\frac{z \text{Re} \sqrt{\varepsilon}}{c}). \quad (5)$$

Оказывается, что это представление позволяет получить отчетливое изображение рассеивающих объектов в грунте. Поэтому представляется

оправданной аналогичная (4) трансформация частотных зависимостей в интегральном уравнении (3) к соответствующим временным распределениям:

$$\Delta s(k_x, k_y, t) = \int_0^\infty \Delta s(k_x, k_y, \omega) \exp(i\omega t) d\omega. \quad (6)$$

$$\Delta s(k_x, k_y, z) = \Delta s(k_x, k_y, t = -\frac{z \operatorname{Re} \sqrt{\varepsilon}}{c}), \quad (7)$$

$$K(k_x, k_y, z', t) = \int_0^\infty K(k_x, k_y, z', \omega) \exp(i\omega t) d\omega, \quad (8)$$

$$K(k_x, k_y, z', z) = K(k_x, k_y, z', t = -\frac{z \operatorname{Re} \sqrt{\varepsilon}}{c}). \quad (9)$$

Тогда (3) трансформируется в уравнение, в котором поперечные спектры зависят от параметра эффективной глубины формирования:

$$\Delta s(k_x, k_y, z) = \int_{z'} \varepsilon_1(k_x, k_y, z') K(k_x, k_y, z', z) dz'. \quad (10)$$

Полученное уравнение имеет серьезные преимущества по сравнению с (3). Появляется возможность обоснованно выбрать значения параметра  $z$  так, чтобы они перекрывали интервал по глубине  $z'$ , на котором ищется решение, что уменьшает и влияние неоднородностей поверхности. Этот интервал можно оценить из качественных данных о распределении рассеяния по глубине (5). Кроме того, при трансформации во временную область, как отмечалось, существенно подавляется влияние шума.

Важнейшим преимуществом (10) является изменение вида ядра уравнения по сравнению с (3). Функция ядра  $K$  в (3) имеет весьма сложную структуру, но расчеты для модельных передаточных функций антенн показывают, что весьма хорошим приближением для ядра (3) является экспоненциальное:

$$K(k_x, k_y, z', \omega) = K_0(k_x, k_y, \omega) \exp\left(\frac{z'}{\delta(k_x, k_y, \omega)}\right). \quad (11)$$

Масштаб затухания экспонент в (11) зависит от частоты и определяется как спецификой ближнего поля для электрически малых антенн, так и поглощением среды. Именно частотные изменения этого масштаба определяют глубинную чувствительность метода. Но при экспоненциальном ядре вклад слоев в сигнал уменьшается с глубиной, что затрудняет его выделение по сравнению с функциями ядра, имеющими максимум (в идеале приближающимися к  $\delta$ -функции).

Если для оценки взять функцию ядра (3) из (11) в простейшем виде (без учета передаточной функции антенны)  $K = K_0 \exp(z/\delta)$ , где толщина скин-слоя  $\delta = c/(\omega \text{Im}\sqrt{\varepsilon})$ , то соответствующая функция ядра в (10) представляется формулой:

$$K(k_x, k_y, z', z) = -K_0 \frac{c(\text{Im}\sqrt{\varepsilon}z' + i\text{Re}\sqrt{\varepsilon}z)}{(\text{Im}\sqrt{\varepsilon}z')^2 + (\text{Re}\sqrt{\varepsilon}z)^2}. \quad (12)$$

Можно видеть, что и действительная и мнимая часть этой функции достигают максимума, который в случае  $\text{Re}\sqrt{\varepsilon} = \text{Im}\sqrt{\varepsilon}$  реализуется при  $z = z'$ . Такой вид ядра создает предпосылки для существенно более точной локализации зондируемого неоднородного распределения по глубине.

Проблема применения развитой теории на практике заключается в определении ядер в уравнениях (3), (10), поскольку не для всех антенн можно определить их вид теоретически. Представляется оправданным использовать для калибровки тестовые образцы с известным поперечным спектром, предпочтительно – в форме тонких параллелепипедов.

**ЭКСПЕРИМЕНТ** Метод исследовался на тестовых сплошных объектах из пенопласта, имеющих форму параллелепипеда. Измерения выполнялись с помощью приемно-передающей сканирующей системы, состоящей из двух идентичных жестко связанных антенн Вивальди, разнесенных на 4 см, и векторного анализатора Agilent E5071B, который позволял излучать зондирующий сигнал на 801 частоте в диапазоне 1,7 – 7 ГГц и измерять комплексные амплитуды рассеянного на неоднородностях поля. На рис.2, 3 представлены результаты для образца пенопласта  $4 \times 3 \times 2$  см в песчаном грунте на глубине (по верхней грани)  $z = -4$  см. Размеры области сканирования над поверхностью грунта составляли  $L_x = 30$  см;  $L_y = 20$  см. На рис.2 показаны изображения поперечного распределения синтезированного импульса (5)  $\Delta s_{re}(x, y, z)$  для нескольких значений  $z$  в области сканирования, а на рис.3 – горизонтальное и вертикальное сечение (томограммы) неоднородности диэлектрической проницаемости, полученные из решения (10). Можно видеть хорошее соответствие формы, положения и значений неоднородности  $\varepsilon_1$  на томограммах ее реальным характеристикам.

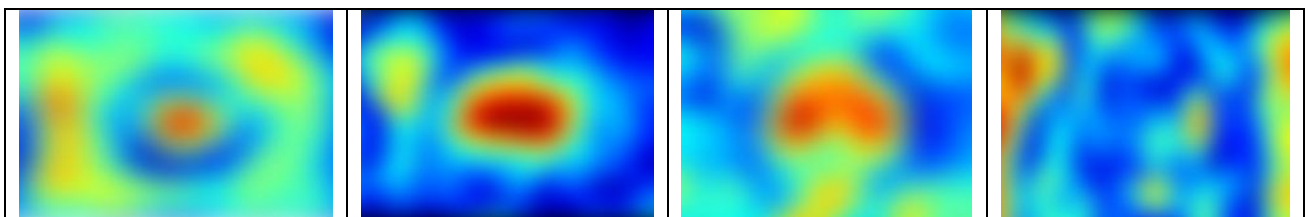


Рисунок 2. Горизонтальное распределение  $\Delta s_{re}(x, y)$  для  $z = -4, -1, -6, -5, -2, -6, 0$  см. Здесь и далее программа Array Visualizer

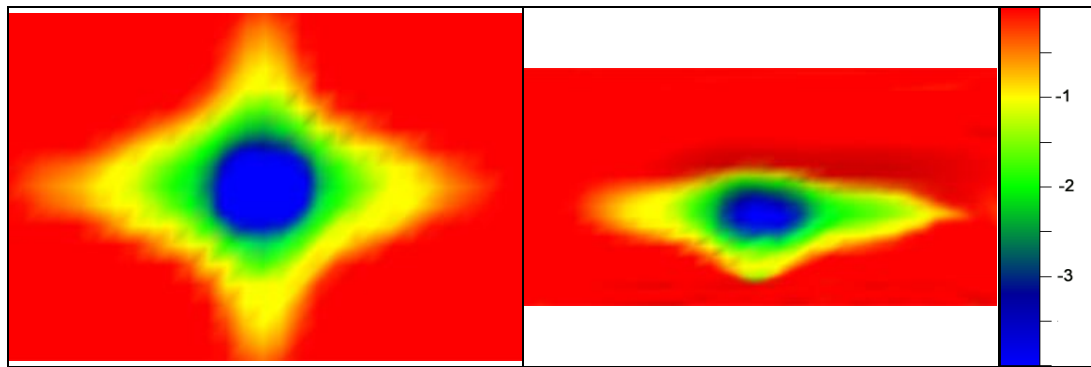


Рисунок 3. Слева – горизонтальное сечение неоднородности (томограмма)  $\text{Re } \varepsilon_1(x, y)$  при  $z = -5$  см. Справа – вертикальное сечение  $\text{Re } \varepsilon_1(x, z)$  при  $y = 10$  см.

Метод был применен и к зондированию сложного распределения комплексной диэлектрической проницаемости в грунте, создаваемого образцом тающего льда размерами  $10 \times 10 \times 4$  глубине 9 см от поверхности. В данном случае измерения выполнялись с использованием приемно-передающей системы из двух идентичных жестко связанных широкополосных диполей типа «bow-tie», центры которых разнесены на 7,5 см, а расстояние между широкой частью плеча диполя – 2 см. Для этих планарных антенн имелась возможность вычислить распределение поверхностных токов на излучающей антенне, а из условия взаимности для идентичных приемной и передающей антенн следует, что передаточная функция приемника пропорциональна этому распределению ( $F_i(k_x, k_y, \omega) = \text{const } j_i(k_x, k_y, \omega)$ ). Это позволило вычислить ядро интегрального уравнения.

На рис.4 показаны изображения поперечного распределения синтезированного импульса (5)  $\Delta s_{re}(x, y, z)$  для нескольких значений  $z$  в области сканирования, а на рис.5, 6 – горизонтальное и вертикальное сечение (томограммы) неоднородности действительной и мнимой частей диэлектрической проницаемости, полученные из решения (10). Результаты томографической визуализации, полученные на основе решения обратной задачи рассеяния, демонстрируют качественное согласие с ожидаемым распределением диэлектрических параметров.

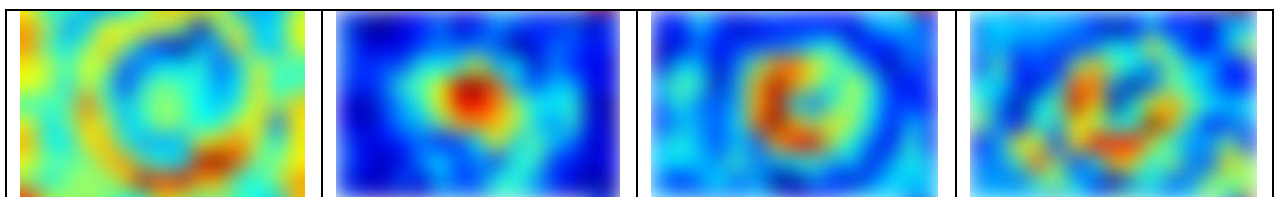


Рисунок 4. Горизонтальное распределение  $\Delta s_{re}(x, y)$  для  $z = -6, -10, -12, -14$  см.

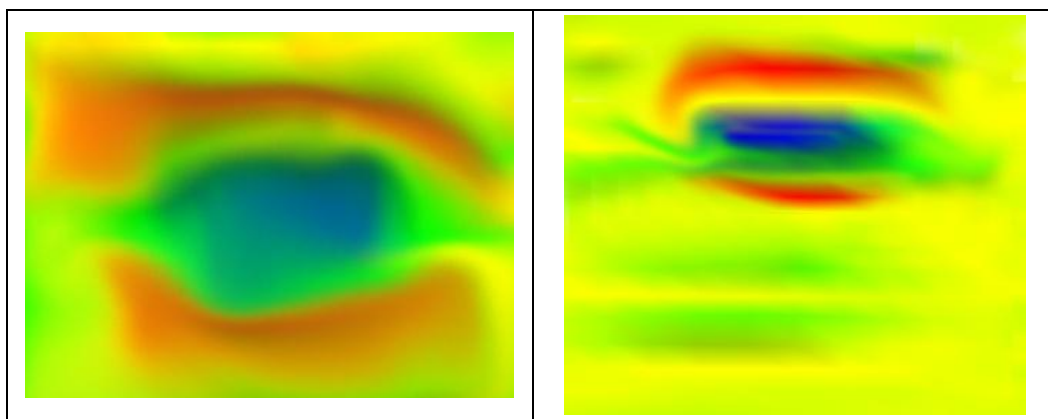


Рисунок 5. Слева – горизонтальное сечение неоднородности (томограмма)  $\text{Re } \varepsilon_1(x, y)$  при  $z = -9$  см. Справа – вертикальное сечение  $\text{Re } \varepsilon_1(x, z)$  при  $y = 16$  см.

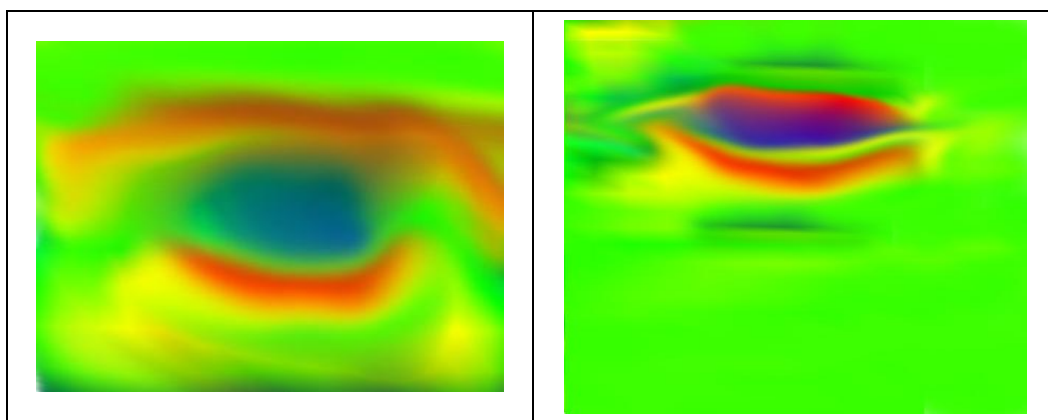


Рисунок 6. Слева – горизонтальное сечение неоднородности (томограмма)  $\text{Im } \varepsilon_1(x, y)$  при  $z = -9$  см. Справа – вертикальное сечение  $\text{Im } \varepsilon_1(x, z)$  при  $y = 16$  см.

Действительно, на глубине расположения зондируемого объекта имеется область низких значений диэлектрических параметров, характерных для льда (синий цвет), а вокруг имеется кольцевая область повышенных значений (красный), характерных для песка, увлажняемого водой, диффундирующей от тающего льда.

**ЗАКЛЮЧЕНИЕ** Развита метод сканирующей подповерхностной томографии неоднородностей комплексной диэлектрической проницаемости, основанный на многочастотных измерениях комплексных амплитуд рассеянного этими неоднородностями электромагнитного поля. В основе метода – решение обратной задачи рассеяния относительно глубинного профиля поперечного спектра неоднородностей по поперечному спектру вариаций сигнала, трансформированного из частотной во временную область. Метод исследован экспериментально для СВЧ подповерхностной томографии неоднородностей в грунте.

**Выражения признательности.** Результаты получены при поддержке РФФИ (проект № 11-02-97060\_p\_поволжье) и программы ОФН РАН.

#### СПИСОК ИСПОЛЬЗОВАННЫХ ИСТОЧНИКОВ

1. Gaikovich K. P. Subsurface Near-Field Scanning Tomography // Physical Review Letters. —2007. —Vol. 98. —P. 183902 (4 pp.).
2. Gaikovich K.P., Gaikovich P.K. Inverse problem of near-field scattering in multilayer media // Inverse Problems. — 2010. —Vol. 26. — N 12. — P. 125013 (17 pp.).
3. Gaikovich K. P. Inverse Problems in Physical Diagnostics. —Nova Science Publishers Inc., New York, 2004 — 372 pp.
4. Near-field microwave tomography / K.P. Gaikovich, P.K. Gaikovich, Ye. S. Maksimovitch, V.A. Badeev, V.A. Mikhnev // Proceedings of 7<sup>th</sup> International Conference on Antenna Theory and Technique (6-9 October, 2009 Lviv, Ukraine) . — 2009. —P. 262-264.
5. Multifrequency microwave tomography of absorbing inhomogeneities / K.P. Gaikovich, P.K. Gaikovich, Ye.S. Maksimovitch, V.A. Badeev // Proceedings of 5<sup>th</sup> Int. Conf. “Ultrawideband and Ultrashort Impulse Signals” (6-10 September, 2010, Sevastopol, Ukraine) . —2010. —P. 156-158.

Получено 21.03.11